

НЕУПРУГОЕ ВЗАИМОДЕЙСТВИЕ АДРОНОВ С ЛЕГКИМИ ЯДРАМИ В ДИФРАКЦИОННОЙ ТЕОРИИ ГЛАУБЕРА

Имамбеков Онласын, профессор Казахского Национального университета имени аль-Фараби, 050040, Казахстан, Алматы, пр. аль-Фараби 71, e-mail: onlas@mail.ru

Абдраманова Гулбану, PhD аспирант Казахского Национального университета имени аль-Фараби, 050040, Казахстан, Алматы, пр. аль-Фараби 71, e-mail: bati.95@mail.ru

Аннотация. В рамках дифракционной теории Глаубера проведен расчет амплитуды неупругого рассеяния (на уровень $J^\pi = 5/2^+$) протонов на нейтроноизбыточном ядре ^{15}C в инверсной кинематике. В операторе многократного рассеяния учтены члены первого и второго порядков. Использовалась волновая функция ^{15}C в многочастичной оболочечной модели, что позволило не только рассчитать дифференциальные сечения, но и вычислить вклад от рассеяния протонов на нуклонах из разных оболочек.

Ключевые слова: ядро, протон, амплитуда рассеяния, инверсная кинематика, волновая функция, оболочечная модель ядра, дифференциальное сечение, дифракционная теория Глаубера

INELASTIC INTERACTION OF HADRONS WITH LIGHT NUCLEI IN THE GLAUBER THEORY

Imambekov Onlasyn, professor of Al-Farabi Kazakh National University, 050040, Kazakhstan, Almaty, 71 al-Farabi ave., E-mail: onlas@mail.ru

Abdramanova Gulbanu, PhD graduate student, Al-Farabi Kazakh National University, 050040, Kazakhstan, Almaty, 71 al-Farabi Ave., e-mail: bamu.95@mail.ru

Abstract. In the framework of the Glauber diffraction theory, the amplitude of inelastic scattering (per level) of protons on a ^{15}C neutron-rich nucleus in inverse kinematics is calculated. The terms of the first and second orders are taken into account in the multiple scattering operator. The ^{15}C wave function was used in the many-particle shell model, which allowed us not only to calculate the differential cross sections, but also to calculate the contribution from proton scattering on nucleons from different shells.

Keywords: nucleus, proton, scattering amplitude, inverse kinematics, wave function, shell model of the nucleus, differential cross section, Glauber diffraction theory

ВВЕДЕНИЕ

К настоящему времени установлено [1 – 3], что ^{15}C является однеитронным гало ядром с малой энергией отделения нейтрона $\varepsilon = 1.218$ МэВ, полным спином $J^\pi = 1/2^+$ и временем жизни относительно β -распада 2.45 с. В первом возбужденном состоянии $J^\pi = 5/2^+$, энергия возбуждения $\varepsilon = 0.478$ МэВ.

В одной из последних работ [4] при изучении упругого магнитного электронного рассеяния на изотопах $^{15,17,19}\text{C}$ выяснено, что из упругого магнитного формфактора можно точно определить орбиталь последнего нуклона. Формфактор при больших значениях в пространстве импульсов определяется плотностью при малых расстояниях в координатном пространстве, и наоборот. Формфакторы при низких и средних импульсах для всех изотопов $^{15,17,19}\text{C}$ подобны друг другу, когда последний нейтрон заселяет одну и ту же орбиталь. В то же время имеется огромное различие между формфакторами для одного ядра, когда последний нейтрон заселяет разные орбитали ($2s_{1/2}$ или $1d_{5/2}$). Из сравнения рассчитанных формфакторов с экспериментальными (которых пока нет) можно будет сделать вполне определенный вывод о волновой функции (ВФ) и распределении плотности последнего нейтрона.

Волновая функция для возбужденного состояния ^{15}C , рассчитанная в многочастичной модели оболочек, представлена конфигурацией две дырки в $1p$ -оболочке плюс один нейтрон в $1d$ -оболочке: $|(1s)^4(1p)^{10}(1d)^1|$. Основное состояние ^{15}C ($J^\pi, T = 1/2^+, 3/2$) на 98% определяется s -компонентой ВФ, первое возбужденное состояние ($J^\pi, T = 5/2^+, 3/2$) более чем на 90% определяется d -компонентой [5]. Главное отличие ВФ основного и первого возбужденного состояний ядра ^{15}C в расположении последнего нейтрона: когда он заполняет $2s_{1/2}$ -орбиталь, среднеквадратичный радиус последнего нейтрона и полная нейтронная плотность резко увеличиваются по сравнению с тем случаем, когда последний нейтрон заполняет $1d_{5/2}$ -орбиталь ($R_h = 3.845$ фм для $1d_{5/2}$, $R_h = 5.666$ фм для $2s_{1/2}$ [4]), хотя энергии уровней этих орбиталей и полные энергии связи подобны. Причина в том, что на $2s_{1/2}$ -орбитали у ВФ имеется один дополнительный узел, что определяет большую растянутость ВФ по координате по сравнению с $1d_{5/2}$ -орбиталью. Нуклон гало предпочитает орбиталь с дополнительным узлом и низким угловым моментом, что и обеспечивает больший радиус.

Продолжая наши предыдущие исследования упругого рассеяния протонов на ядре ^{15}C [6, 7], в настоящей работе мы рассчитали ДС неупругого рассеяния на уровень $J^\pi = 5/2^+$ и учли члены одно- и двукратного соударений в глауберовском операторе. Как показал анализ, чем выше кратность рассеяния, тем меньше ее вклад в ДС при малых углах. Однако с увеличением угла рассеяния парциальные сечения высших кратностей спадают не так быстро, как однократное, и при больших углах начинают доминировать и давать основной вклад в ДС. Поэтому динамический вклад высших кратностей необходимо учитывать, если рассматривать сечение не только при самых малых ($\theta < 10 \div 15^\circ$), но и при средних углах рассеяния до $\theta \sim 40^\circ$.

1. РАСЧЕТ АМПЛИТУДЫ В ПРИБЛИЖЕНИИ ОДНО- И ДВУКРАТНОГО РАССЕЙНИЯ

Амплитуда рассеяния в глауберовской дифракционной теории записывается следующим образом [8]:

$$M_{if}(\vec{q}) = \sum_{M_i M_f} \frac{ik}{2\pi} \int d^2 \vec{\rho} \exp(i\vec{q}\vec{\rho}) \langle \Psi_f^{JM_f}(\vec{r}_i) | \Omega | \Psi_i^{JM_i}(\vec{r}_i) \rangle, \quad (1)$$

где $\vec{\rho}$ – прицельный параметр; $\vec{r}_i(\vec{\rho}_i, z_i)$ – одночастичные координаты нуклонов, от которых зависят ВФ $\Psi_i^{JM_i}, \Psi_f^{JM_f}$ в начальном и конечном состояниях, A – число нуклонов в ядре, $\vec{q} = \vec{k} - \vec{k}'$ – переданный в реакции импульс, \vec{k}, \vec{k}' – импульсы налетающего и вылетевшего протона.

Оператор Ω представляет собой ряд многократного рассеяния на нуклонах ядра

$$\Omega = 1 - \prod_{i=1}^A (1 - \omega_i(\vec{\rho} - \vec{\rho}_i)) = \sum_{i=1}^A \omega_i - \sum_{i < j} \omega_i \omega_j + \sum_{i < j < k} \omega_i \omega_j \omega_k - \dots (-1)^{A-1} \omega_1 \omega_2 \dots \omega_A, \quad (2)$$

где ω_i – профильные функции

$$\omega_i(\vec{\rho} - \vec{\rho}_i) = \frac{1}{(2\pi i k)} \int d\vec{q}_i \exp(-i\vec{q}_i(\vec{\rho} - \vec{\rho}_i)) f_{pN}(q_i), \quad (3)$$

$f_{pN}(q)$ – элементарные pN - амплитуды

$$f_{pN}(q_i) = \frac{k\sigma_{pN}}{4\pi} (i + \varepsilon_{pN}) \exp\left(-\frac{\beta_{pN}^2 q_i^2}{2}\right). \quad (4)$$

Значения параметров при разных энергиях приведены в [9].

Оболочечную ВФ представим в виде

$$\Psi_{i,f}^{JM_i}(\vec{r}_i) = \Psi_{n_0 l_0 m_0}(\vec{r}_1, \dots, \vec{r}_4) \Psi_{n_1 l_1 m_1}(\vec{r}_5, \dots, \vec{r}_{14}) \Psi_{n_2 l_2 m_2}(\vec{r}_{15}), \quad (5)$$

где $n_i l_i m_i$ есть квантовые числа (главное, орбитальное и магнитное) соответствующей оболочки. Тогда s - и d -компоненты ВФ запишутся:

$$\Psi_i^{JM_i}(\vec{r}_i) = |(1s)^4 (1p)^{10} (2s)^1\rangle = \sum_{m_1} \Psi_{000}(\vec{r}_1, \dots, \vec{r}_4) \Psi_{11m_1}(\vec{r}_5, \dots, \vec{r}_{14}) \Psi_{200}(\vec{r}_{15}), \quad (6)$$

$$\Psi_f^{JM_f}(\vec{r}_i) = |(1s)^4 (1p)^{10} (1d)^1\rangle = \sum_{m_1 m_2} \Psi_{000}(\vec{r}_1, \dots, \vec{r}_4) \Psi_{11m_1}(\vec{r}_5, \dots, \vec{r}_{14}) \Psi_{22m_2}(\vec{r}_{15}), \quad (7)$$

где каждая из функций есть произведение одночастичных функций: $\Psi(\vec{r}_1, \vec{r}_2, \dots) = \prod_i \Psi(\vec{r}_i)$.

Подставив ВФ начального (6) и конечного (7) состояний в (1), запишем амплитуду неупругого рассеяния

$$M_{if}(\vec{q}) =$$

$$= \frac{ik}{2\pi} \sum_{m_1 m_2} \int d^2 \vec{\rho} \exp(i\vec{q}\vec{\rho}) \langle \Psi_{000}(\vec{r}_1, \dots, \vec{r}_4) \Psi_{11m_1}(\vec{r}_5, \dots, \vec{r}_{14}) \Psi_{22m_2}(\vec{r}_{15}) | \Omega | \Psi_{000}(\vec{r}_1, \dots, \vec{r}_4) \Psi_{11m_1}(\vec{r}_5, \dots, \vec{r}_{14}) \Psi_{200}(\vec{r}_{15}) \rangle \quad (8)$$

Подстановка ряда многократного рассеяния (2) в амплитуду (1) и последующие интегрирования его по прицельному параметру $d\vec{\rho}$ и импульсам, переданным в каждом акте рассеяния $d\vec{q}_1, \dots, d\vec{q}_k$, приводит к следующему результату:

$$\Omega = \frac{2\pi}{ik} f_{pN}(q) \sum_{i=1}^{15} \tilde{\omega}_i - \left(\frac{2\pi}{ik} f_{pN}\left(\frac{q}{2}\right) \right)^2 \sum_{i<j=1}^{15} \tilde{\omega}_i \tilde{\omega}_j + \dots, \quad (9)$$

где

$$\sum_{i=1}^{15} \tilde{\omega}_i = \sum_{i=1}^{15} \exp(i\vec{q}\vec{\rho}_i), \quad \sum_{i=1}^{15} \tilde{\omega}_i \tilde{\omega}_j = \sum_{i=1}^{15} \exp\left(i\frac{\vec{q}}{2}(\vec{\rho}_i + \vec{\rho}_j)\right) \delta(\vec{\rho}_i - \vec{\rho}_j). \quad (10)$$

При выводе формулы (9) в амплитуде $f_{pN}(q)$ мы пренебрегаем разностями $(q_i - q_j)$ по сравнению с q , $\frac{q}{2}$ (поскольку известно, что амплитуда нуклон-нуклонного взаимодействия является функцией, плавно меняющейся с изменением аргумента q), что позволяет вынести из-под знака интеграла амплитуды $f_{pN}(q)$, $f_{pN}^2\left(\frac{q}{2}\right)$. Подставив в (8) первый член ряда многократного рассеяния (9) и разделив сумму на операторы, действующие на нуклоны находящиеся в разных оболочках $\sum_{i=1}^{15} \tilde{\omega}_i = \sum_{i=1}^4 \tilde{\omega}_i + \sum_{i=5}^{14} \tilde{\omega}_i + \tilde{\omega}_{15}$, запишем матричный элемент однократного рассеяния:

$$M_{if}^{(1)}(\vec{q}) = \frac{k}{k'} f_{pN}(q) \sum_{m_1 m_2} \int |\Psi_{000}(\vec{r}_1, \dots, \vec{r}_4)|^2 |\Psi_{11m_1}(\vec{r}_5, \dots, \vec{r}_{14})|^2 \Psi_{22m_2}^*(\vec{r}_{15}) \Psi_{200}(\vec{r}_{15}) \left(\sum_{i=1}^4 \tilde{\omega}_i + \sum_{i=5}^{14} \tilde{\omega}_i + \tilde{\omega}_{15} \right) \prod_{i=1}^{15} d\vec{r}_i. \quad (11)$$

Из-за ортогональности функций $\Psi_{22m_2}^*(\vec{r}_{15})$ и $\Psi_{200}(\vec{r}_{15})$ и из-за того, что оператор действует только на одну координату (см. первую из формул (10)), интегралы от первых двух слагаемых будут равны нулю, остается только последний член с оператором, действующим на нуклон, находящийся в d -оболочке. Заменяв формально плоские вектора $\vec{\rho}_i$ (от которых зависят $\tilde{\omega}$) на трехмерные \vec{r}_i , можно интегрирование провести в сферической системе координат. Разложив $\tilde{\omega}_{15} = \exp(i\vec{q}\vec{r}_{15})$ в ряд по функциям Бесселя и представив ВФ гармонического осциллятора в виде произведения радиальной функции на угловую (сферическую функцию) $\Psi_{nlm}(\vec{r}_i) = R_{nl}(r_i) Y_{lm}(\vec{r}_i)$, после интегрирования формулы (11) получим:

$$M_{if}^{(1)}(\vec{q}) = \frac{k}{k'} 2\pi f_{pN}(q) B_{2220}(q) \sum_m Y_{2m}(\vec{q}) \quad (12)$$

где

$$B_{2220}(q) = -\frac{1}{\sqrt{2q}} \int_0^\infty R_{22}(r) R_{20}(r) J_{5/2}(qr) r^{3/2} dr. \quad (13)$$

Перейдем к вычислению матричного элемента двукратного рассеяния. Представив оператор двукратного рассеяния в виде $\sum_{i<j=1}^{15} \tilde{\omega}_i \tilde{\omega}_j = \sum_{i<j=1}^{14} \tilde{\omega}_i \tilde{\omega}_j + \sum_{i=1}^{14} \tilde{\omega}_i \tilde{\omega}_{15}$, подставляя его в (8) и учитывая, что из-за ортогональности $\Psi_{22m_2}^*(\vec{r}_{15})$ и $\Psi_{200}(\vec{r}_{15})$ в матричном элементе останутся только те члены, в которые входит оператор $\tilde{\omega}_{15}$, запишем:

$$M_{if}^{(2)}(\vec{q}) = \frac{2\pi k}{k'^2} f_{pN}^2 \left(\frac{q}{2}\right) \sum_{n_1 m_2} \int |\Psi_{000}(\vec{r}_1, \dots, \vec{r}_4)|^2 |\Psi_{11m_1}(\vec{r}_5, \dots, \vec{r}_{14})|^2 \Psi_{22m_2}^*(\vec{r}_{15}) \Psi_{200}(\vec{r}_{15}) \sum_{i=1}^{14} \tilde{\omega}_i \tilde{\omega}_{15} \prod_{i=1}^{15} d\vec{r}_i. \quad (14)$$

Оператор двукратного рассеяния разделим на два слагаемых, отвечающих соударениям протона с нуклонами на (1s, 1d)- и (1p, 1d)-оболочках $\sum_{i=1}^{14} \tilde{\omega}_i \tilde{\omega}_{15} = \sum_{i=1}^4 \tilde{\omega}_i \tilde{\omega}_{15} + \sum_{i=5}^{14} \tilde{\omega}_i \tilde{\omega}_{15}$, тогда матричный элемент (14) также будет представлен в виде суммы

$$M_{if}^{(2)}(\vec{q}) = M_{if}^{(2)-sd}(\vec{q}) + M_{if}^{(2)-pd}(\vec{q}), \quad (15)$$

где каждый член (после подстановки второй из формул (10)), примет вид

$$M_{if}^{(2)-sd} = \frac{2\pi k}{k'^2} f_{pN}^2 \left(\frac{q}{2}\right) \sum_{n_1 m_2} \int |\Psi_{11m_1}(\vec{r}_5, \dots, \vec{r}_{14})|^2 d\vec{r}_5 \dots d\vec{r}_{14} \int |\Psi_{000}(\vec{r}_1, \dots, \vec{r}_4)|^2 \Psi_{22m_2}^*(\vec{r}_{15}) \Psi_{200}(\vec{r}_{15}) \sum_{i=1}^4 \exp\left(i\frac{\vec{q}}{2}(\vec{r}_i + \vec{r}_{15})\right) \delta(\vec{r}_i - \vec{r}_{15}) d\vec{r}_1 \dots d\vec{r}_4 d\vec{r}_{15}, \quad (16)$$

$$M_{if}^{(2)-pd} = \frac{2\pi k}{k'^2} f_{pN}^2 \left(\frac{q}{2}\right) \sum_{m_1 m_2} \int |\Psi_{000}(\vec{r}_1, \dots, \vec{r}_4)|^2 d\vec{r}_1 \dots d\vec{r}_4 \int |\Psi_{11m_1}(\vec{r}_5, \dots, \vec{r}_{14})|^2 \Psi_{22m_2}^*(\vec{r}_{15}) \Psi_{200}(\vec{r}_{15}) \sum_{i=5}^{14} \exp\left(i\frac{\vec{q}}{2}(\vec{r}_i + \vec{r}_{15})\right) \delta(\vec{r}_i - \vec{r}_{15}) d\vec{r}_5 \dots d\vec{r}_{14} d\vec{r}_{15}. \quad (17)$$

Проинтегрировав по $d\vec{r}_i$ с помощью δ -функции, и учитывая, что с нуклонами s-оболочки происходит 4 двукратных соударения, а с нуклонами p-оболочки – 10, запишем

$$M_{if}^{(2)-sd} = 4 \frac{2\pi k}{k'^2} f_{pN}^2 \left(\frac{q}{2}\right) \sum_{m_2} \int |\Psi_{000}(\vec{r})|^2 \Psi_{22m_2}^*(\vec{r}) \Psi_{200}(\vec{r}) \exp(i\vec{q}\vec{r}) d\vec{r}, \quad (18)$$

$$M_{if}^{(2)-pd} = 10 \frac{2\pi k}{k'^2} f_{pN}^2 \left(\frac{q}{2}\right) \sum_{m_1 m_2} \int |\Psi_{11m_1}(\vec{r})|^2 \Psi_{22m_2}^*(\vec{r}) \Psi_{200}(\vec{r}) \exp(i\vec{q}\vec{r}) d\vec{r}. \quad (19)$$

Применив ту же технику, что при вычислении матричного элемента однократного рассеяния, окончательно получим

$$M_{if}^{(2)-sd} = -\frac{k}{k'^2} 2\pi f_{pN}^2 \left(\frac{q}{2}\right) B_{2220}^{00}(q) \sum_m Y_{2m}(\vec{q}), \quad (20)$$

где

$$B_{2220}^{00}(q) = \frac{1}{\sqrt{2q}} \int_0^\infty R_{00}^2 R_{22}(r) R_{20}(r) J_{5/2}(qr) r^{3/2} dr. \quad (21)$$

$$M_{if}^{(2)-pd} = -\frac{k}{k'^2} 2\pi f_{pN}^2 \left(\frac{q}{2}\right) \sum_{\lambda\mu} B_{2220(\lambda)}^{11}(q) F_{\lambda\mu}(\vec{q}), \quad (22)$$

где

$$B_{2220(\lambda)}^{11}(q) = \frac{1}{\sqrt{2q}} \int_0^\infty R_{11}^2 R_{22}(r) R_{20}(r) J_{\lambda+1/2}(qr) r^{3/2} dr, \quad (23)$$

$$F_{\lambda\mu}(\vec{q}) = (i)^\lambda Y_{\lambda\mu}(\vec{q}) \int Y_{1m}(\vec{r}) Y_{1m}^*(\vec{r}) Y_{2m_2}^*(\hat{r}) Y_{\lambda\mu}(\vec{r}) d\Omega_r = \frac{3\sqrt{2\lambda+1}}{\sqrt{5}(4\pi)^{3/2}} (i)^\lambda Y_{\lambda\mu}(\vec{q}) \times \sum_{m_1 m_2} \langle 1010|L0 \rangle \langle L0\lambda 0|20 \rangle \langle 1m_1 1m_2|LM \rangle \langle LM\lambda\mu|2m_2 \rangle. \quad (24)$$

Дальнейшие вычисления матричных элементов проводились с помощью программы MAPLE. Вычислив матричные элементы, можно рассчитать ДС рассеяния:

$$\frac{d\sigma}{d\Omega} = \frac{1}{2J+1} |M_{if}^{(1)}(\vec{q}) - M_{if}^{(2)}(\vec{q})|^2. \quad (25)$$

Мы ограничиваемся одно- и двукратными соударениями, поскольку ряд многократного рассеяния сходится быстро и каждый последующий член разложения дает вклад в сечение на порядки меньше, чем предыдущий.

2. ОБСУЖДЕНИЕ РЕЗУЛЬТАТОВ

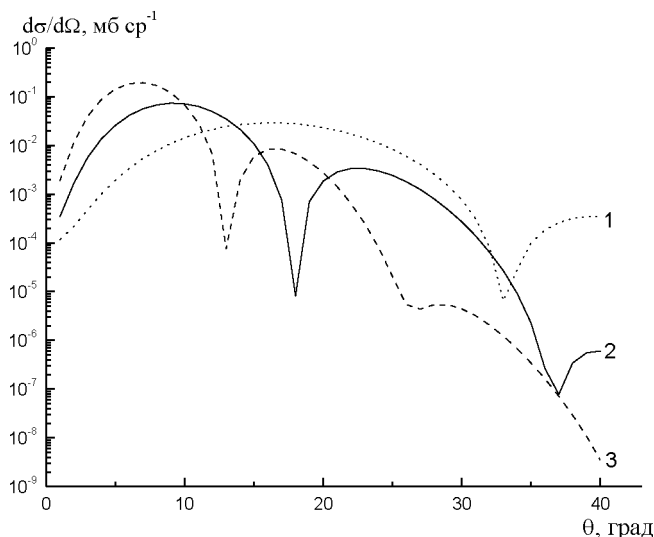
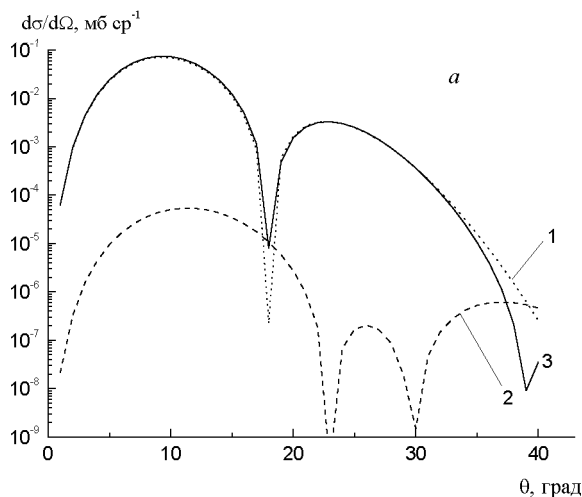


Рис.1. Дифференциальные сечения неупругого $p^{15}C$ -рассеяния при разных энергиях. Кривые 1, 2, 3 соответствуют энергиям 0.2, 0.6, 1.0 ГэВ/нуклон

На рис. 1 представлены ДС при разных энергиях 0.2 (кривая 1), 0.6 (кривая 2) и 1.0 (кривая 3) ГэВ/нуклон. При нулевом угле рассеяния в ДС наблюдается минимум, возникающий из-за ортогональности ВФ начального и конечного состояний. С увеличением энергии дифракционная картина сечения (чередование минимумов и максимумов) становится более ярко выраженной: если для $E = 0.2$ ГэВ/нуклон имеются два минимума при $\theta = 0^\circ$ и 34° , то для $E = 0.6$ ГэВ/нуклон второй минимум сдвигается в область меньших углов до $\theta \sim 18^\circ$ и появляется третий при $\theta \sim 39^\circ$. Для $E = 1.0$ ГэВ/нуклон также наблюдается три минимума: $\theta = 0^\circ, 13^\circ$ и 28° .



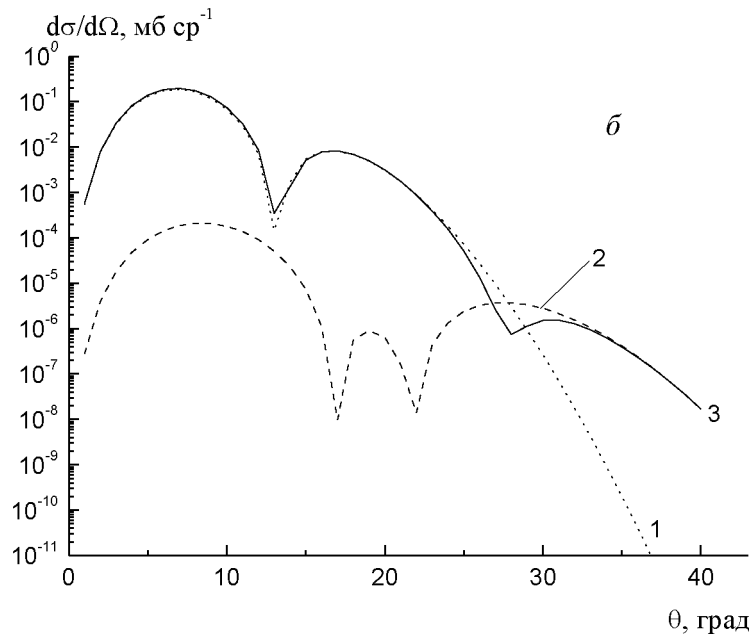


Рис. 2. Вклад в ДС разных кратностей рассеяния. Кривые 1, 2 и 3 – однократное, двукратное рассеяние и их суммарный вклад; *a* – $E = 0.6$ ГэВ/нуклон, *б* – $E = 1.0$ ГэВ/нуклон.

На рис. 2 показаны вклады в ДС разных кратностей рассеяния для энергий 0.6 (*a*) и 1.0 (*б*) ГэВ/нуклон. Кривая 1 демонстрирует вклад однократного рассеяния (первого члена формулы (25)), кривая 2 – двукратного (второй член формулы (25)) и кривая 3 – их суммарный вклад. Обратимся к рис. 2*a*. Здесь кривая 3 – та же, что и кривая 2 на рис. 1. Основной вклад в сечение при углах $\theta < 35^\circ$ дает однократное рассеяние. Парциальное сечение однократных соударений определяется формулой (12). Минимум при $\theta \sim 18^\circ$ в парциальном сечении однократных соударений (кривая 1) возникает после интегрирования $B_{2220}(q)$ (формула (13)) и объясняется структурой самого ядра, т.е. наличием узла в подынтегральной функции Бесселя $J_{5/2}(qr)$ и полинома в радиальной функции $R_{20}(r)$. Остальные члены формулы (12), зависящие от q (в интервале углов от 0° до 40°), монотонно убывают с увеличением угла θ . Как видно из рисунка, минимум в сечении однократного рассеяния частично заполняется вкладом двукратного рассеяния, которое, будучи на несколько порядков меньше однократного, в этой области достигает значений однократного. Таким образом, даже в области передних углов рассеяния необходимо учитывать двукратные соударения в операторе Ω . Второй минимум возникает там, где сечения одно- и двукратного рассеяний сравниваются по величине (при $\theta \sim 39^\circ$) из-за того, что ряд многократного рассеяния (2) знакопеременный и при возведении матричных элементов в квадрат в формуле (25), в ДС появляется интерференционный член со знаком минус.

Аналогичная картина наблюдается на рис. 2*б*. Сечение двукратного рассеяния меньше заполняет минимум однократного при $\theta \sim 13^\circ$, однако его вклад начинает доминировать уже при $\theta > 28^\circ$. Минимум в ДС при $\theta = 28^\circ$ возникает в результате интерференции первой и второй кратностей рассеяния.

Сложная структура ДС двукратного рассеяния (кривая 2) будет ясна из рис. 3.

Рассмотрим, какой вклад дают отдельные структурные составляющие ВФ в ДС неупругого рассеяния. В сечение однократного рассеяния ненулевой вклад дает только одна

компонента ВФ, соответствующая рассеянию протона на нуклоне $1d$ -оболочки (см. формулу (12)), это кривая 1 на рис. 2 а, б.

В двукратное рассеяние дают вклад два парциальных сечения рассеяния на нуклонах $(1s, 1d)$ - и $(1p, 1d)$ - оболочек. Дифференциальное сечение двукратного рассеяния получим, возведя в квадрат матричный элемент (15):

$$\frac{d\sigma^{(2)}}{d\Omega} = \frac{1}{2J+1} \left| M_{if}^{(2)-sd}(q) + M_{if}^{(2)-pd}(q) \right|^2. \quad (26)$$

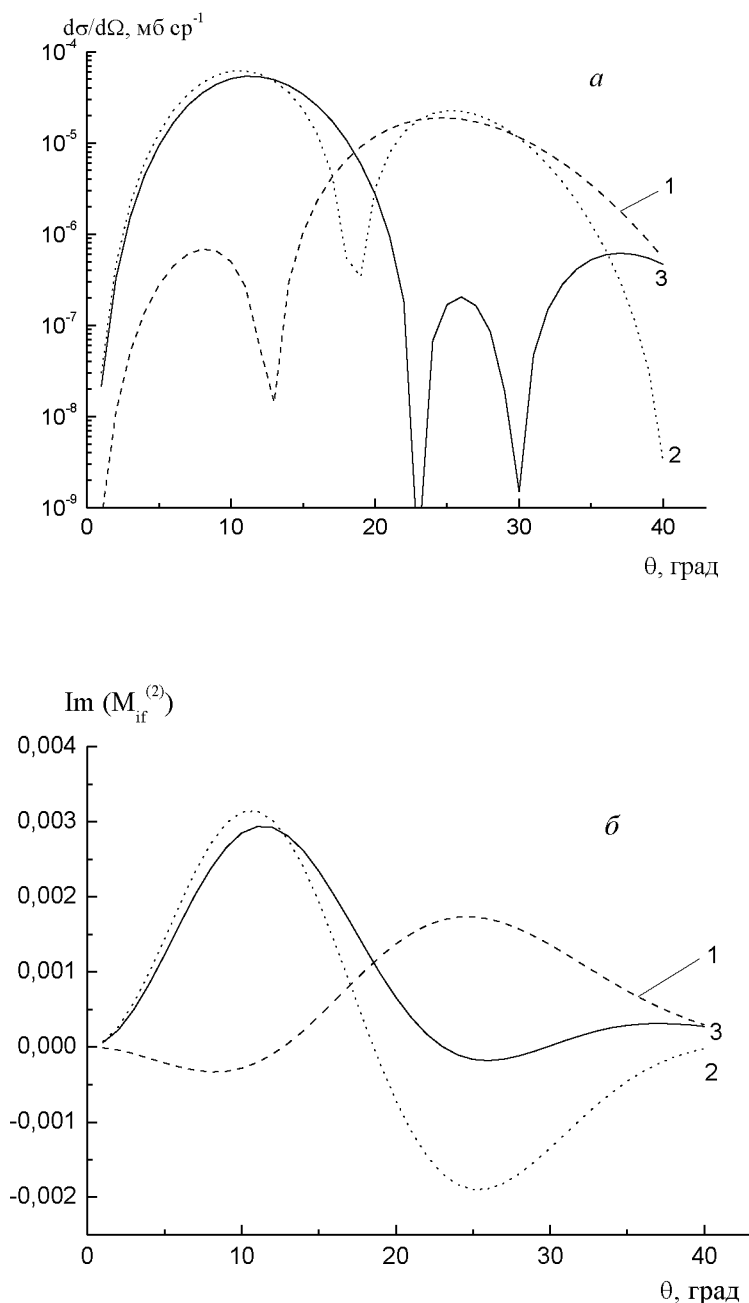


Рис. 3. Вклад в ДС двукратного неупругого рассеяния от соударений с нуклонами из разных оболочек (а) и мнимая часть амплитуды двукратного рассеяния (б) при энергии 0.6 ГэВ/нуклон. Кривые 1, 2 и 3 – вклады в сечение двукратных соударений с нуклонами $(1s, 1d)$ - , $(1p, 1d)$ - оболочек и их сумма.

На рис. 3а показан вклад в ДС от соударений с нуклонами из разных оболочек при энергии 0.6 ГэВ/нуклон. Кривая 1 представляет парциальное сечение двукратного рассеяния с нуклонами (1s, 1d)-оболочек, кривая 2 – парциальное сечение двукратного рассеяния с нуклонами (1p, 1d)-оболочек. Сплошная кривая 3 – суммарная (та же, что кривая 2 на рис. 2а). При малых углах ($\theta < 15^\circ$) ДС целиком определяется соударением с нуклонами (1p, 1d)-оболочек. При $\theta > 15^\circ$ ДС быстро убывает и имеет нерегулярный характер (два минимума и один максимум в интервале $35^\circ > \theta > 15^\circ$), обусловленный тем, что амплитуды $\text{Im}(M_{if}^{(2)-sd})$ и $\text{Im}(M_{if}^{(2)-pd})$ имеют разные знаки (это видно на рис. 3б) и близкие абсолютные значения. При $\theta > 32^\circ$ ДС рассеяния на нуклонах (1p, 1d)-оболочек резко уменьшается и определяющий вклад вносит рассеяние на нуклонах (1s, 1d)-оболочек. Физически такое поведение ДС объясняется тем, что для рассеяния на нуклоне, находящемся на внутренней 1s-оболочке нужен больший импульс (чем для рассеяния на нуклоне внешней 1p-оболочки), а чем больше импульс, тем больше угол рассеяния.

Известно, что основной вклад в сечение вносит мнимая часть амплитуды рассеяния. Чтобы показать, как формируется общее сечение, на рис. 3б показаны мнимые части амплитуд двукратного рассеяния: кривая 1 – $\text{Im}(M_{if}^{(2)-sd})$, отвечающая за рассеяние на нуклонах (1s, 1d)-оболочек, кривая 2 – $\text{Im}(M_{if}^{(2)-pd})$, отвечающая за рассеяние на нуклонах (1p, 1d)-оболочек, кривая 3 – их сумма. Из рисунка видно, что во всем угловом диапазоне парциальные амплитуды находятся в противофазе, и если при малых углах основной вклад дает рассеяние на нуклонах (1p, 1d)-оболочек, то при $\theta > 15^\circ$ с ним начинает конкурировать рассеяние на нуклонах (1s, 1d)-оболочек, и при $\theta > 36^\circ$ основной вклад дает именно оно.

ЗАКЛЮЧЕНИЕ

По результатам проведенных расчетов можно сделать следующие выводы.

Пренебрежение «малыми» ядерными импульсами ($q_i - q_f$) по сравнению с переданным q и использование оболочечных ВФ в базисе гармонического осциллятора позволило вычислить амплитуду неупругого рассеяния в аналитическом виде, что повышает точность расчета.

С увеличением энергии столкновения (от 0.2 до 1.0 ГэВ/нуклон) в ДС наблюдается более четкая дифракционная картина: число максимумов и минимумов в одинаковом угловом диапазоне увеличивается.

Сечение однократных соударений доминирует при малых углах рассеяния, двукратных – при больших. В областях, где одно- и двукратные ДС сравниваются по величине, возникают минимумы, обусловленные деструктивной интерференцией этих слагаемых при возведении в квадрат матричного элемента.

Из-за ортогональности ВФ начального и конечного состояний вклад в сечение однократного рассеяния дает только рассеяние на нуклоне, находящемся на 1d-оболочке. Максимальный вклад в сечение двукратного рассеяния при малых углах вносит рассеяние на нуклонах (1p, 1d)-оболочек, а при больших – рассеяние на нуклонах (1s, 1d)-оболочек.

Минимумы в суммарном сечении неупругого рассеяния появляются как из-за интерференции разных кратностей рассеяния, так и из-за минимума в ДС однократного рассеяния, который возникает из-за структуры самого ядра.

СПИСОК ЛИТЕРАТУРЫ

1. Fang D.O. // Phys. Rev. C. 2004. V. 69. P. 034613.
2. Horiuchi W., Susuki Y., Abu-Ibrahim B. and Kohama A. // Phys. Rev. C. 2007. V. 75. P. 044607.
3. Keeley N. and Alamanos N. // Phys. Rev. C. 2007. V. 75. P. 054610.

Известия КГТУ им. И.Раззакова 51/2019

4. Tiekuang Dong, Zhongzhou Ren and Yanqing Guo. // Phys. Rev. C. 2007. V. 76. P. 054602.
5. Буркова Н.А. *и др.* // Изв. РАН. Сер. физ. 2006. Т. 70. С. 284.
6. Ибраева Е. Т. *и др.* // Изв. РАН. Сер. физ. 2009. Т.73. С. 892.
7. Ibraeva E.T. *et al.* // The Fourth Eurasian Conference Nuclear Science and Its Application. Baku, Azerbaijan. 2006. P. 287.
8. Glauber R.G. High - energy collision theory. Lect. Theor. Phys. New York – London: Interscience, 1959.
9. Abu-Ibrahim B., Horiuchi W., Kohama A. and Susuki Y. // ArXiv: 0710.4193v1 [Nucl-th]